

ПРИМЕНЕНИЕ ОБОБЩЕННЫХ СОБСТВЕННЫХ ФУНКЦИЙ ЭЛЛИПТИЧЕСКОГО ОПЕРАТОРА С КУСОЧНО-ПОСТОЯННЫМ КОЭФФИЦИЕНТОМ ДЛЯ ПОСТРОЕНИЯ КОМПАКТНЫХ СХЕМ НА ТРЕУГОЛЬНЫХ СЕТКАХ

*В.А.Гордин НИУ-ВШЭ, Гидрометцентр РФ
Д.А.Шадрин НИУ-ВШЭ, факультет математики.*

Аннотация. Численно решается неоднородное уравнение Гельмгольца на треугольной сетке в двух средах с учетом граничных условий. Для расчета используется компактная разностная схема, высокого (4-го) порядка.

ВВЕДЕНИЕ

Уравнения Пуассона и Гельмгольца часто встречаются в физических задачах, как правило описывающих диффузионные процессы.

Уравнение Гельмгольца на плоскости в общем виде:

$$(1) \quad -\operatorname{div}\theta(x, y)\operatorname{grad}U(x, y) + K^2U(x, y) = F(x, y)$$

Здесь U – решение уравнения, F – правая часть, K – некоторый коэффициент (возможно комплексный), θ – некоторая функция, зависящая от точки области. Условно её можно считать коэффициентом диффузии.

В данном докладе рассмотрен случай, когда θ представляет из себя кусочно-постоянную функцию. Область решения разделена на две части, в первой $\theta(x, y) = \vartheta_+$, во второй $\theta(x, y) = \vartheta_-$, где ϑ_-, ϑ_+ – константы.

В качестве иллюстрации в докладе будет описана задача о нахождении тока и поля температур в кабеле с острыми углами, учитывая влияние скин-эффекта.

Описание физической задачи:

Скин-эффект - сосредоточение переменного тока вблизи поверхности проводника.

Уравнение

$$\Delta H + KH = 0,$$

где Δ - оператор Лапласа, H - магнитное поле, мнимый коэффициент $K = \frac{4\pi\mu\sigma i\omega}{c^2}$, где c – скорость света, σ - проводимость, μ - магнитная проницаемость, ω - частота периодического тока, получается из параболического уравнения

$$\frac{4\pi\mu\sigma}{c^2} \frac{\partial H}{\partial t} = \Delta H. \quad (2)$$

Предполагается, что область решения – бесконечный кабель постоянного сечения G . В литературе (см., например, [Ландау-1982]) обычно рассматривается кабель круглого сечения (т. е. G – круг). В случае бесконечного кабеля произвольного, но постоянного сечения можно предполагать, что вектор тока и напряженность электрического поля E направлены вдоль оси кабеля, и векторное уравнение (1) свести к такому же, но скалярному, относительно амплитуды тока j . Магнитное поле H направлено перпендикулярно оси кабеля.

По времени t и по переменной z можно выполнить преобразование Фурье, т. е. представить решение в виде $H(t, x, y, z) = \exp[i(\omega t + kz)]\Phi(x, y)$. В нашем случае зависимости от z нет, т. е. $k=0$.

Тогда уравнение (1) относительно функции Φ двумерное и рассматривается для произвольного сечения проводника. Разумеется, на концах проводника картина будет не двумерной, а существенно трехмерной, но нас интересует ситуация вдали от концов

длинного кабеля (длина много больше диаметра). Поэтому далее рассматривается двумерный оператор Лапласа:

$$\Delta = \partial_x^2 + \partial_y^2 .$$

После того как уравнение относительно скалярной комплекснозначной функции Φ решено, определяется плотность тока j . Затем нужно решить уравнение теплопроводности с источником. По прошествии длительного времени установится стационарное решение уравнения теплопроводности, т. е. удовлетворяющее уравнению Пуассона

$$\Delta T = A |j(x, y)|^2 .$$

(3)

Особый интерес представляет случай малых углов треугольника, где из-за скин-эффекта ток, а значит и температура, могут быть велики.

Граничные условия

В этой работе описано решение задачи с тренировочным граничным условием Дирихле для отладки схемы. Техническая задача состоит в том, чтобы найти напряженность электрического и магнитного поля для двух сред: проводника и диэлектрика вокруг него (см. Рис 1).

Модель:

- 1) кабель и диэлектрик имеют треугольную форму
- 2) слой диэлектрика достаточно большой по сравнению с проводником.

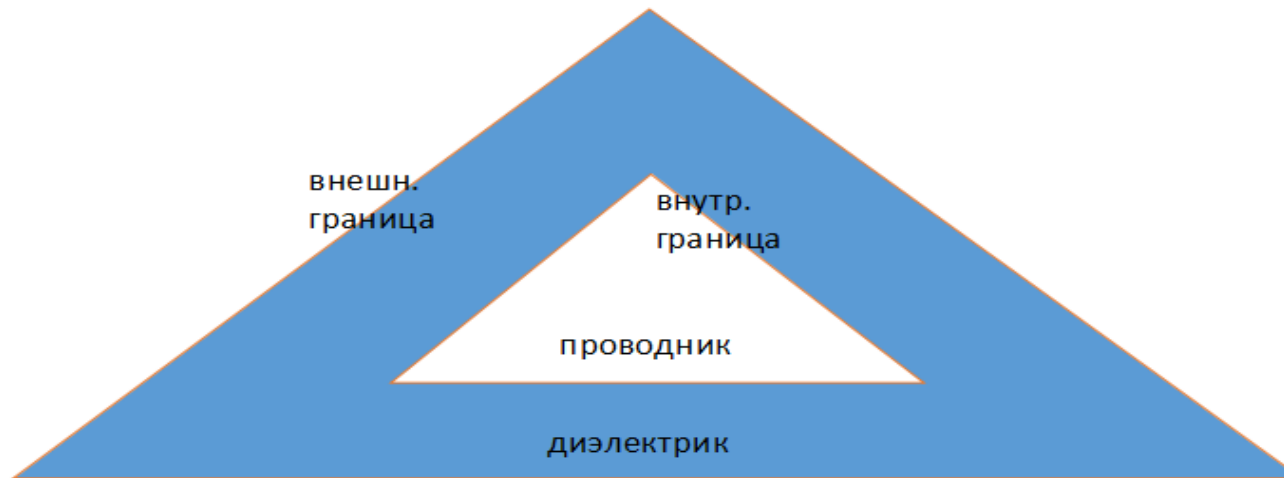


Рис. 1. Горизонтальное сечение кабеля. Геометрия проводника и диэлектрика

На внешней границе имеем:

$$\vec{E}_0 = \text{rot}(\Phi_0 \vec{e}_z) + \frac{ci}{\omega \varepsilon_0} \text{rot rot}(\Psi_0 \vec{e}_z) \quad (4)$$

$$\vec{H}_0 = \text{rot}(\Psi_0 \vec{e}_z) + \frac{ci}{\omega \varepsilon_0} \text{rot rot}(\Phi_0 \vec{e}_z) \quad (5)$$

Все формулы выводятся из уравнений Максвелла.

На внешней границе используем асимптотики E и H , т. к. считаем, что эта граница расположена достаточно далеко от проводника. Разностную схему составляем для Ψ_0 и Φ_0 .

В случае внутренней границы:

$$\frac{\eta_0^2}{\mu_0} \Phi_0 = \frac{\varepsilon_0 \omega^2}{c^2} \Phi_0 = \frac{\eta^2}{\mu} \Phi = \frac{\varepsilon' \omega^2}{c^2} \Phi \quad (6)$$

$$\varepsilon_0 \Phi_0 = \varepsilon' \Phi \quad (7)$$

$$\partial_n \Phi = \partial_n \Phi_0 \quad (8)$$

Функция Φ имеет скачок на границе, следовательно, задачу удобнее решать для функции

$$\Theta_0 = \varepsilon_0 \Phi_0 \quad \Theta = \Theta_0$$

$$\Theta = \varepsilon' \Phi \quad , \text{ где на внутренней границе } \varepsilon_0 \partial_n \Theta = \varepsilon' \partial_n \Theta_0$$

Аналогично для функции Ψ

$$\Upsilon_0 = \mu_0 \Psi_0$$

$$\Upsilon = \Upsilon_0$$

$\Upsilon = \mu \Psi$, где на внутренней границе

$$\mu_0 \partial_n \Upsilon = \mu \partial_n \Upsilon_0$$

КОМПАКТНАЯ АППРОКСИМАЦИЯ

Решение эллиптических задач здесь производится на треугольных сетках. Первый этап – расчет коэффициентов разностной схемы, аппроксимирующей уравнение $L[u]=f$ в каждой точке сетки $\langle x_*, y_* \rangle$:

$$\sum k_{ij} u(x_* + i, y_* + j) = m_{ij} f(x_* + i, y_* + j) \quad (9)$$

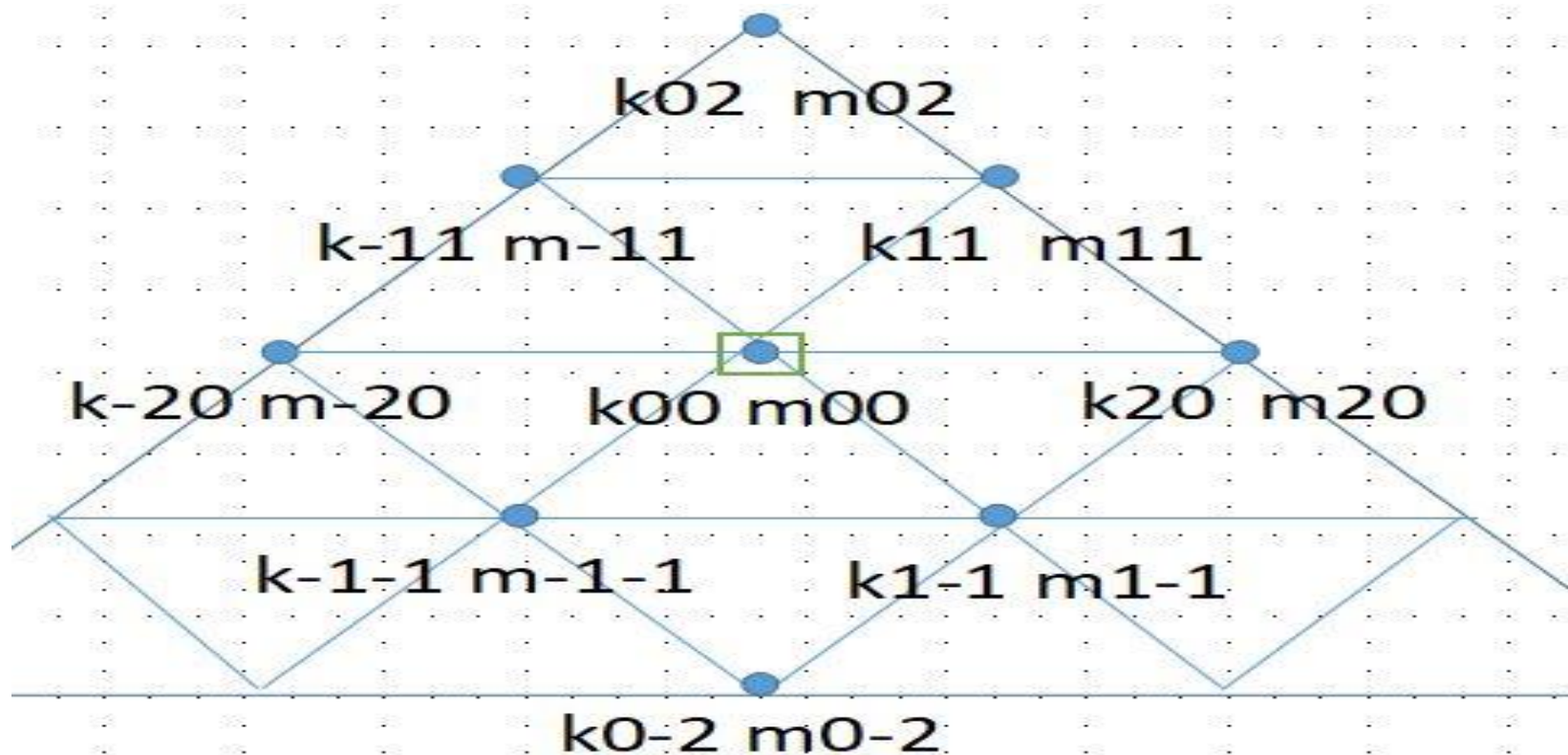


Рис. 2. Веса в центральной точке девятиточечного шаблона (выделенные точками) обозначены a – для неизвестной функции и p – для правой части уравнения.

Важно отметить, что из-за наличия границ сред этот шаблон нельзя использовать в каждой точке сетки. Подробное описание всех видов шаблонов есть в отдельном файле.

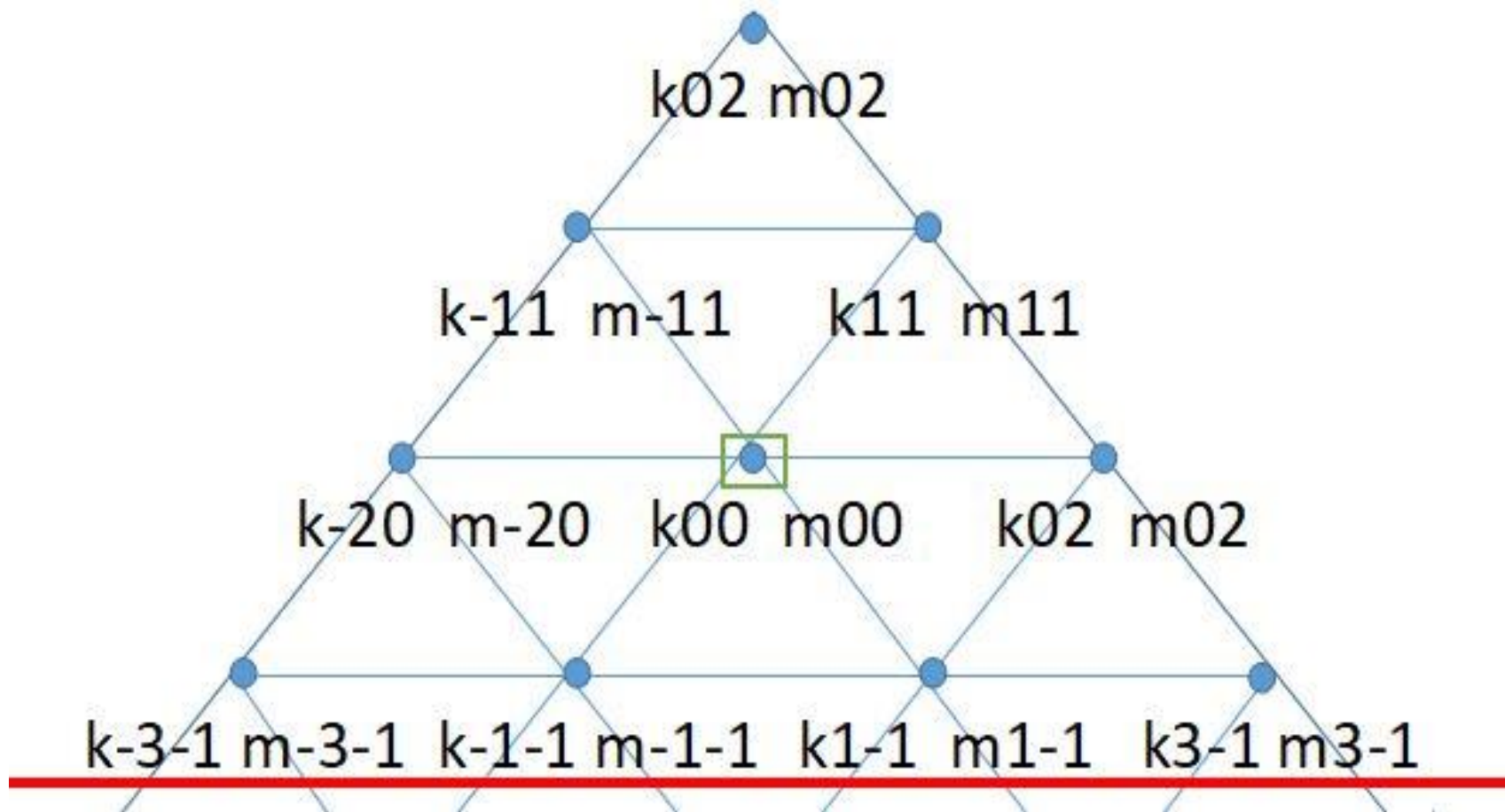


Рис.3 Для нижнего приграничного слоя используется 10-точечный шаблон. Отметим, что попытка использовать 10-точечный шаблон для всех точек понижает порядок аппроксимации разностной схемы с 4-го до 3-го.

Векторы в (9) берем в соответствии с шаблоном, см. альбом шаблонов. Коэффициенты в соотношении (9) определяются из условий аппроксимации: если функция u совпадает с одной из тестовых функций, а функция f получается по формуле $L[u]=f$, то мы можем подобрать коэффициент так, чтобы формула 9 была верна. Роль тестовых функций u исполняют мономы $x^\alpha y^\beta$.

Заметим, что в каждой отдельной среде аппроксимируется уравнение, а на границе сред – стыковочные условия. Шаблоны для каждой точки должны включать точки только из этой же среды. В связи с этим было необходимо создать большое количество различных шаблонов. На рис. 2, 3 приведены примеры некоторых из них.

Аппроксимация Граничных условий

В точках находящихся на границе сред аппроксимируются стыковочные условия. Действовал как при аппроксимации уравнения: брал тестовые функции u , удовлетворяющие стыковочным условиям (7, 8), функции f вычислял, как $L[u]=f$.

Так как стыковочные условия требуют непрерывность решения вдоль нормали к границе, а также непрерывность потока вдоль нормали, то тестовые функции были записаны в нормальной системе координат (орт n – направлен вдоль нормали к границе сред, орт s – по касательной).

Тестовые функции будут иметь вид мономов: $s^\alpha n^\beta$, где α и β целые положительные степени, $\beta \neq 1$. В случае, когда степень n единица, берем функции $u = \begin{cases} \frac{1}{\theta_+} s^\alpha n & \text{внутри угла} \\ \frac{1}{\theta_-} s^\alpha n & \text{снаружи} \end{cases}$.

Аппроксимация граничных условий в точках угла.

В качестве тестовых функций будем рассматривать обобщенно-собственные функции $Y(r, \varphi)$ оператора Лапласа с переменным коэффициентом в полярной системе координат:

$$(10) \quad L = -\mathbf{div}[\mathcal{G}(\varphi) \mathbf{grad}U(r, \varphi)]$$

$$L = -\left(\mathcal{G}(\varphi) \frac{1}{r} \frac{\partial}{\partial r} \left(r \frac{\partial}{\partial r} U \right) + \frac{1}{r^2} \frac{\partial}{\partial \varphi} \left(\mathcal{G}(\varphi) \frac{\partial}{\partial \varphi} U \right) \right)$$

Обобщенно-собственная функция (Y) по определению такая функция, что:

$$(11) \quad \begin{cases} L(Y) = \mu \mathcal{G}_+ Y & \text{в проводнике} \\ L(Y) = \mu \mathcal{G}_- Y & \text{в диэлектрике} \end{cases}$$

Подставляя уравнение (10) в (11) получаем систему уравнений на функцию Y :

$$(12) \begin{cases} -\left(\mathcal{G}(\varphi) \frac{1}{r} \frac{\partial}{\partial r} \left(r \frac{\partial}{\partial r} Y \right) + \frac{1}{r^2} \frac{\partial}{\partial \varphi} \left(\mathcal{G}(\varphi) \frac{\partial}{\partial \varphi} Y \right) \right) = \mu \mathcal{G}_+ Y & \varphi \in [0; \alpha] \\ -\left(\mathcal{G}(\varphi) \frac{1}{r} \frac{\partial}{\partial r} \left(r \frac{\partial}{\partial r} Y \right) + \frac{1}{r^2} \frac{\partial}{\partial \varphi} \left(\mathcal{G}(\varphi) \frac{\partial}{\partial \varphi} Y \right) \right) = \mu \mathcal{G}_- Y & \varphi \in [\alpha - 2\pi; 0] \end{cases}$$

С учетом стыковочных условий:

$$(13) \begin{cases} Y_+(r, 0) = Y_-(r, 0) \text{ непрерывность } Y \text{ при } \varphi = 0 \\ Y_+(r, \alpha) = Y_-(r, \alpha - 2\pi) \text{ стыковка по углу} \\ \mathcal{G}_+ \frac{\partial}{\partial \varphi} (Y_+(r, 0)) = \mathcal{G}_- \frac{\partial}{\partial \varphi} (Y_-(r, 0)) \\ \mathcal{G}_+ \frac{\partial}{\partial \varphi} (Y_+(r, \alpha)) = \mathcal{G}_- \frac{\partial}{\partial \varphi} (Y_-(r, \alpha - 2\pi)) \text{ условия непрерывности потока} \end{cases}$$

Систему (12) решаю методом Фурье: ищем решение в виде $Y(r, \varphi) = A(\varphi)B(r)$.

$$\left(A \mathcal{G}(\varphi) \frac{1}{r} \frac{\partial}{\partial r} \left(r \frac{\partial}{\partial r} B \right) + B \frac{1}{r^2} \frac{\partial}{\partial \varphi} \left(\mathcal{G}(\varphi) \frac{\partial}{\partial \varphi} A \right) \right) = -\mu \mathcal{G}(\varphi) A B$$

$$\frac{1}{r} \frac{\partial}{\partial r} \left(r \frac{\partial}{\partial r} B \right) + B \frac{\frac{1}{r^2} \frac{\partial}{\partial \varphi} \left(\mathcal{G}(\varphi) \frac{\partial}{\partial \varphi} A \right)}{\mathcal{G}(\varphi) A} + \mu B = 0$$

Получаем уравнения на А и В:

$$(14a) \quad \frac{\partial}{\partial \varphi} \left(\mathcal{G}(\varphi) \frac{\partial A}{\partial \varphi} \right) = -\mathcal{G}(\varphi) \lambda A$$

$$(14b) \quad \frac{1}{r} \frac{\partial}{\partial r} \left(r \frac{\partial B}{\partial r} \right) - B \frac{\lambda}{r^2} + \mu B = 0$$

Уравнение (14 а) – стандартное гармоническое уравнение. Его решение будет иметь вид:

$$A(\varphi) = \begin{cases} C_{1+} \sin(\sqrt{\lambda}\varphi) + C_{2+} \cos(\sqrt{\lambda}\varphi) & \Leftarrow \varphi \in [0, \alpha] \\ C_{1-} \sin(\sqrt{\lambda}\varphi) + C_{2-} \cos(\sqrt{\lambda}\varphi), & \Leftarrow \varphi \in [\alpha - 2\pi, 0]. \end{cases}$$

Константы $c_{1+}, c_{2+}, c_{1-}, c_{2-}$ определяются из условия стыковки (13):

$$\begin{cases} A(+0) = A(-0) \\ \mathcal{G}_+ A'(+0) = \mathcal{G}_- A'(-0) \\ A(\alpha) = A(\alpha - 2\pi) \\ \mathcal{G}_+ A'(\alpha) = \mathcal{G}_- A'(\alpha - 2\pi) \end{cases}$$

Собственное число λ находим из условия вырожденности данной системы, так как должно существовать решение, отличное от 0.

В случае, когда $\lambda=0$ получаем, что A – константа.

Уравнение (14b) преобразуем в уравнение Бесселя в классическом виде:

$$r^2 \frac{\partial^2 B}{\partial r^2} + r \frac{\partial B}{\partial r} + (r^2 \mu - \lambda) B = 0$$
$$\Downarrow$$
$$(r\sqrt{\mu})^2 \frac{\partial^2 B}{\partial (r\sqrt{\mu})^2} + (r\sqrt{\mu}) \frac{\partial B}{\partial (r\sqrt{\mu})} + ((r\sqrt{\mu})^2 - \lambda) B = 0$$

Его решение – линейная комбинация функций Бесселя первого (J) и второго (Y) рода:

$$B = C_1 J_{\sqrt{\lambda}}(\sqrt{\mu}r) + C_2 Y_{\sqrt{\lambda}}(\sqrt{\mu}r)$$

Заметим, что Y стремится к бесконечности при $r \rightarrow 0$, интеграл этой функции в 0 не сходится.

Это решение не физично, поэтому будем рассматривать только $B = J_{\sqrt{\lambda}}(\sqrt{\mu}r)$.

В случае, когда $\lambda=0$ получаю, что B – функция Бесселя с индексом 0.

Для составления схемы четвертого порядка необходимо, чтобы остаточный член при разложении решения в ряд по тестовым функция убывал как $o(r^4)$. Члены разложения

функции Бесселя в ряд Тейлора пропорциональны r^{s+2m} . Здесь s - индекс функции Бесселя, $m = 0, 1, 2, \dots$

Соответственно, если $0 < s < 2$, то необходимо взять 2 тестовые функции для данного s :

$A_s * J_s(\omega_1 r)$ $A_s * J_s(\omega_2 r)$ их линейная комбинация даст функции: $A_s * (r^s + o(r^4))$ $A_s * (r^{s+2} + o(r^4))$.

Если $2 \leq s < 4$, берем одну тестовую функцию: $A_s * J_s(\omega_1 r) \sim A_s * (r^s + o(r^4))$. Если $4 \leq s$ - ни одной.

При $s = 0$. Брал 3 тестовые функции: $A_s * J_s(\omega_1 r)$ $A_s * J_s(\omega_2 r)$ $A_s * J_s(\omega_3 r)$, линейные комбинации которых дадут: $1 + o(r^4)$, $r^2 + o(r^4)$, $r^4 + o(r^4)$.

Решение

Зная коэффициенты компактной схемы, получаем систему линейных алгебраических уравнений $A * u = B * f$ (для каждой точки сетки свое уравнение), аппроксимирующую уравнение Пуассона и граничных условий.

Переход к уравнению Гельмгольца (1): $(A - B * K) * u = B * f$, где K – коэффициент уравнения.

Тесты

Проверка работы схемы и подтверждение её порядка проводилась следующим образом. Бралось решение, посчитанное для правой части равной константе на достаточно мелкой сетке $N = 800$. Здесь N – число шагов на основании большого треугольника. Далее для каждого $N = 400, 200, 100, 50, 25$ получал новое решение. Погрешностью здесь считается средний модуль разности решения на грубой сетке и решения на мелкой сетке. Затем строил графики зависимости погрешности от N в билогарифмической системе координат.

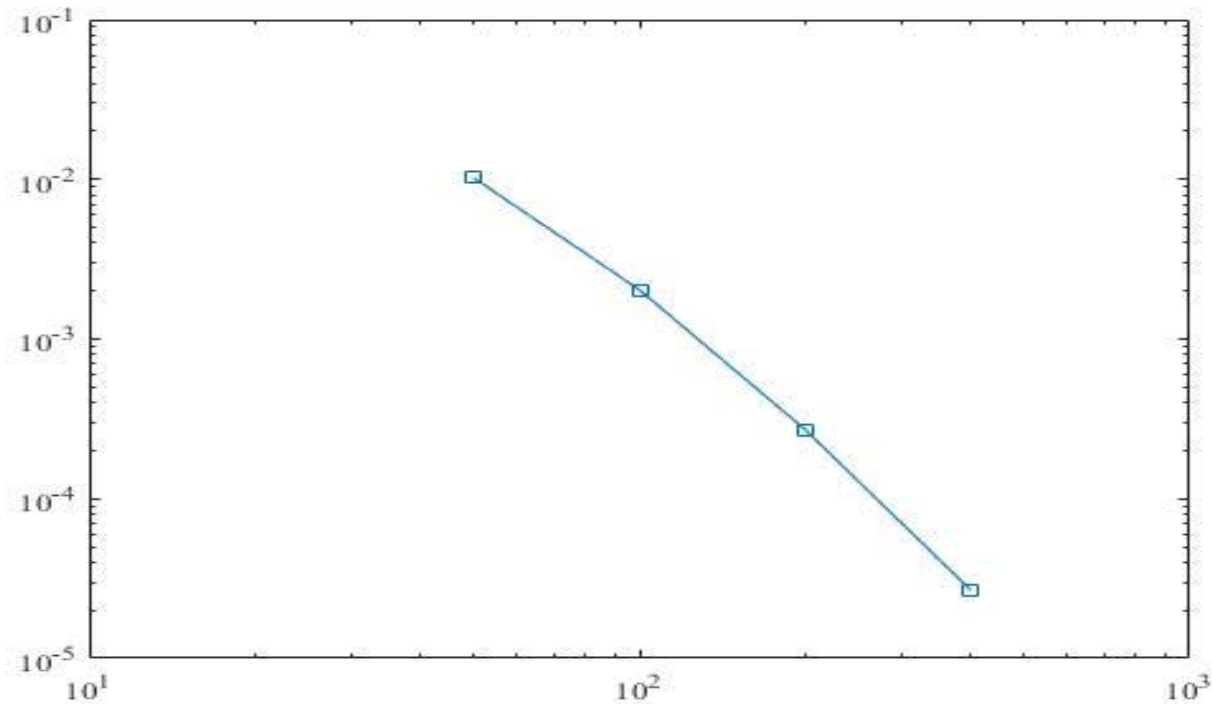


Рис 4. График зависимости погрешности в $L1$ норме от числа точек на основании треугольника (N). $\frac{\theta_+}{\theta_-} = 2$. Порядок примерно третий.

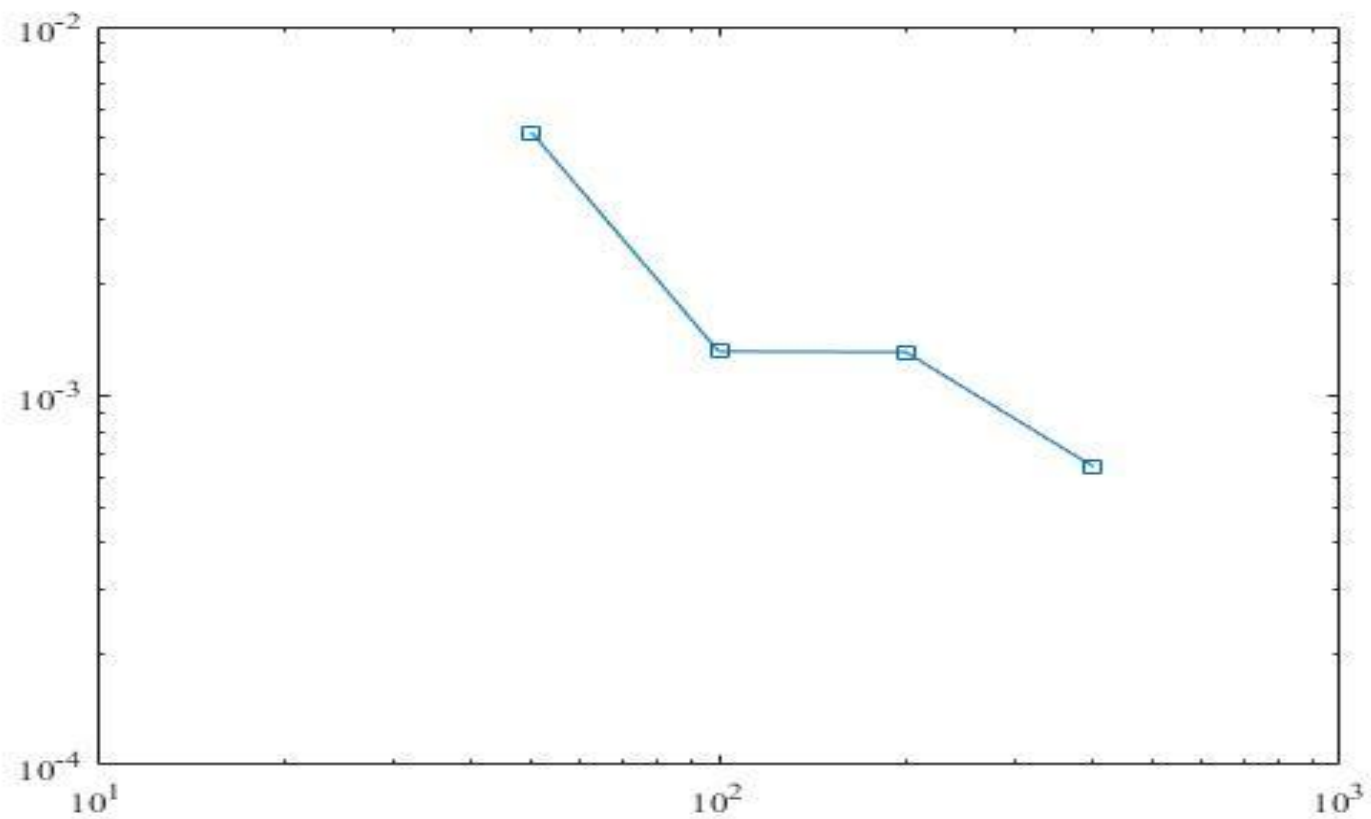


Рис 5. График зависимости погрешности в $L1$ норме от числа точек на основании треугольника (N). $\frac{\theta_+}{\theta_-} = 10$.

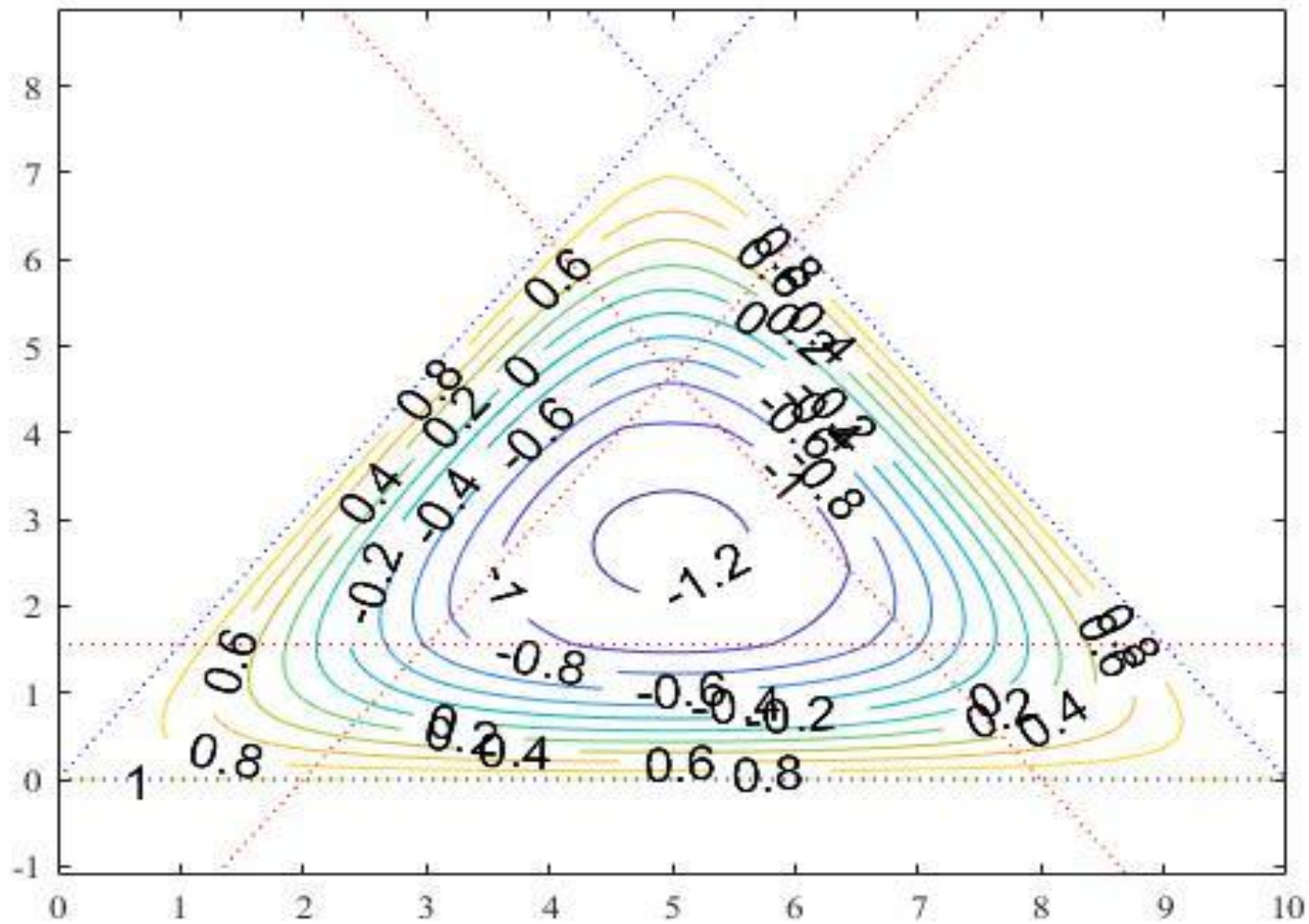


Рис 6. График решения схемы при $N = 800$. Угол при основании равен 1. $\frac{\theta_+}{\theta_-} = 10$.

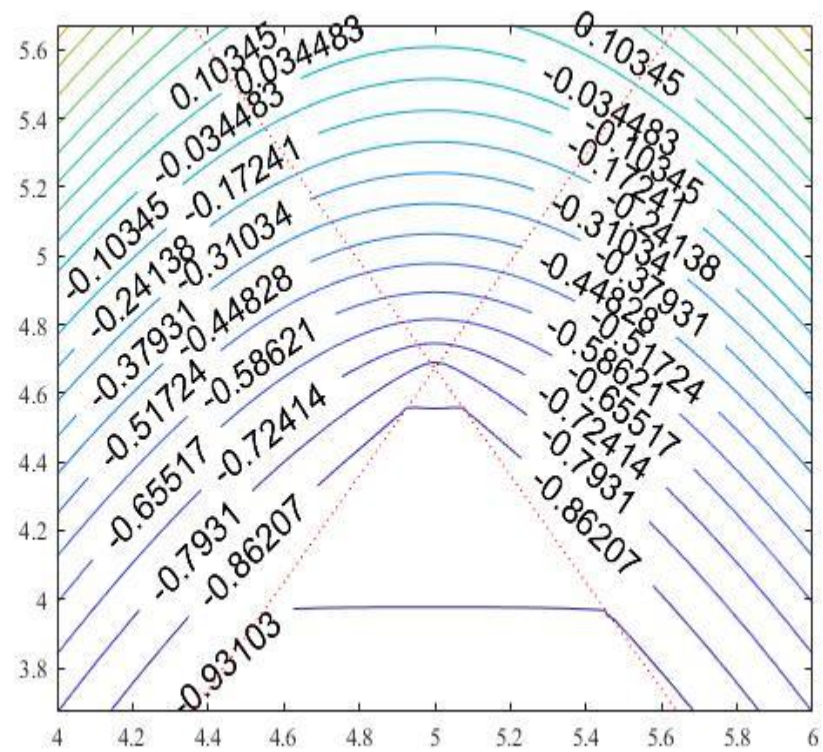
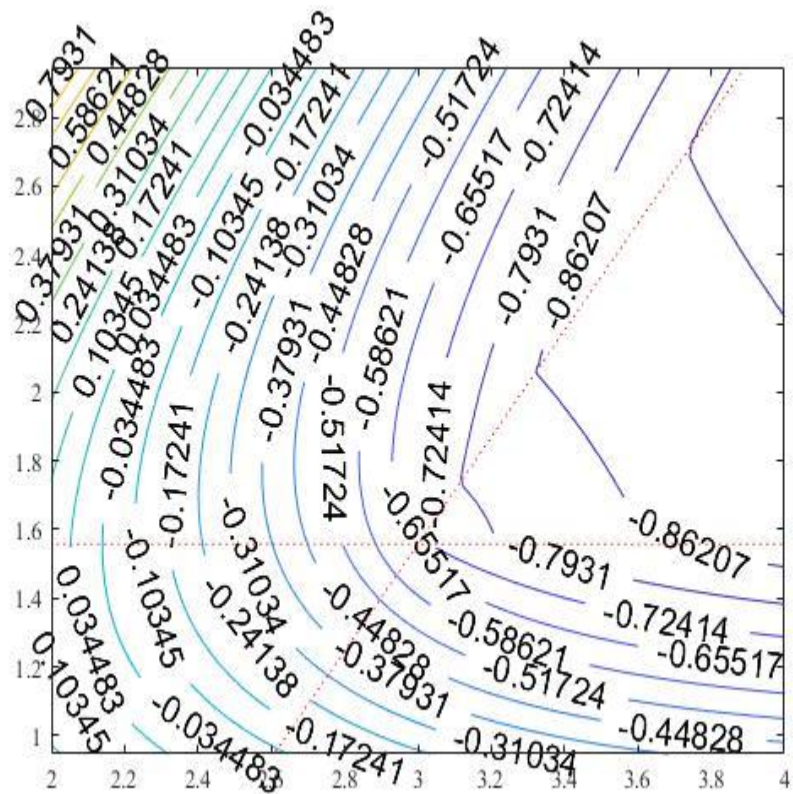


Рис 7. График решения схемы, приближенный в углах